

Todos los resultados presentados en esta actualización son preliminares y están sujetos a cambios.

Apéndice B. Tablas y Gráficos de Datos Suplementarios

Con base en las recomendaciones de la comunidad y otras partes interesadas desde la publicación de la actualización del análisis de datos de SNAPS de enero de 2025, el personal de la Junta de Recursos del Aire de California (CARB) y la Oficina de Evaluación de Riesgos para la Salud Ambiental (OEHHA) ha creado un nuevo Apéndice B, que complementa la Actualización de enero de 2025. Las nuevas tablas y figuras de este apéndice utilizan el mismo conjunto de datos preliminares y limitados analizados para la Actualización de enero e incluyen la siguiente información adicional en respuesta a los comentarios recibidos:

- Estadísticas adicionales para el sitio Marycrest Manor durante el verano de 2023 (Tabla B1)
- Valores de referencia para la salud agudos (a corto plazo) y concentraciones máximas utilizadas para calcular el riesgo agudo para la salud para este conjunto de datos preliminar y limitado (se ofrecerá un análisis más exhaustivo en futuras actualizaciones).
- Comparaciones de los resultados preliminares de SNAPS con un sitio de monitoreo regional no adyacente al campo petrolífero Inglewood (IOF) [Figuras B4-B6, B11]
- Figuras que ilustran los cambios horarios en las concentraciones de contaminantes cerca del IOF (Figuras B7-B10).

Nota: Al momento de esta actualización (enero de 2025), el personal había recopilado y procesado menos de una cuarta parte del total de datos de monitoreo del aire y no contaba con datos validados de un año completo, que es el mínimo necesario para considerar la variación estacional y las duraciones de exposición más prolongadas. Las futuras actualizaciones de SNAPS incluirán datos de IOF recopilados después del período de junio de 2023 a junio de 2024, así como datos adicionales sobre contaminantes de junio de 2023 a junio de 2024 (Figuras B1-B3).

Tabla de Contenido

Tabla de Tablas	Página
Tabla B1. Concentraciones horarias medias (promedio), medianas y máximas de varios contaminantes medidos entre junio y agosto de 2023.	3
Tabla B2. Valores orientativos de salud agudos y concentraciones máximas utilizados en la actualización de monitoreo intermedio del Campo Petrolífero Inglewood de enero de 2025.	4

Todos los resultados presentados en esta actualización son preliminares y están sujetos a cambios.

Tabla de figuras	Página
Figura B1. Cronología de la recopilación de datos de monitoreo discreto del aire en el IOF por sitio.	7
Figura B2. Cronología de la recopilación de datos de monitoreo del aire en tiempo real en el IOF por sitio.	7
Figura B3. Cronología de la recopilación de datos de monitoreo del aire en tiempo real para COV especiados en el IOF por sitio.	8
Figura B4. Concentraciones promedio estacionales de monóxido de carbono (ppm) en los sitios de monitoreo del IOF y en un sitio de monitoreo del aire no perteneciente al SNAPS (junio de 2023-marzo de 2024).	9
Figura B5. Concentraciones promedio estacionales de ozono (ppb) en los sitios de monitoreo del IOF y en un sitio de monitoreo del aire no perteneciente al SNAPS (junio de 2023-marzo de 2024).	10
Figura B6. Concentraciones promedio estacionales de PM2.5 (ug/m ³) en los sitios de monitoreo del IOF y en un sitio de monitoreo del aire no perteneciente al SNAPS (junio de 2023-marzo de 2024).	11
Figura B7. Tendencias diurnas estacionales de monóxido de carbono (ppm) en los sitios de monitoreo del IOF (junio de 2023-marzo de 2024).	12
Figura B8. Tendencias diurnas estacionales de metano (ppm) en los sitios de monitoreo del IOF (junio de 2023-marzo de 2024).	12
Figura B9. Tendencias diurnas estacionales de ozono (ppb) en los sitios de monitoreo del IOF (junio de 2023-marzo de 2024).	13
Figura B10. Tendencias diurnas estacionales de PM2.5 (ug/m ³) en los sitios de monitoreo del IOF (junio de 2023-marzo de 2024).	13
Figura B11. Comparación entre los sitios de monitoreo del IOF de SNAPS y North Main Street (NMS) de Los Ángeles para contaminantes discretos clave (ug/m ³), febrero-junio de 2025.	14

Todos los resultados presentados en esta actualización son preliminares y sujetos a cambios.

Tabla B1. Concentraciones horarias medias (promedio), medianas y máximas de varios contaminantes medidos entre junio y agosto de 2023. Las estadísticas de monitoreo estacionario (Tabla 2) de la actualización de datos del Campo Petrolífero Inglewood de febrero de 2024 (https://ww2.arb.ca.gov/sites/default/files/2024-05/SNAPS_IOF_Communities_Update_February_2024.pdf) se actualizan a continuación para 1,3-butadieno, benceno, tetracloruro de carbono y tolueno. Los valores orientativos de salud agudos (a corto plazo) se describen en la Tabla B2.

	MCM (al oeste de IOF)	MCM (al oeste de IOF)	MCM (al oeste de IOF)	SPR (borde oriental de IOF)**	SPR (borde oriental de IOF)	SPR (borde oriental de IOF)
	Media	Mediana	Maxima	Media	Mediana	Maxima
PM_{2.5} (ug/m³)	7.5	7.0	30	7.2	6.0	34
O₃ (ppb)	28	28	63	28	29	67
CH₄ (ppm)	2.0	2.0	2.9	2.0	2.0	4.1
H₂S (ppb)	Datos por debajo del MDL	Datos por debajo del MDL	Datos por debajo del MDL	Datos por debajo del MDL	Datos por debajo del MDL	Datos por debajo del MDL
CO (ppm)	0.13	0.12	0.45	0.15	0.13	0.49
BC (ug/m³)	0.27	0.21	2.7	0.29	0.22	2.3
1,3-Butadieno (ppb)*	0.02	0.01	0.36	0.07	0.07	0.30
Benceno (ppb)	0.08	0.07	0.24	0.07	0.06	0.40
Tetracloruro de Carbono (ppb)	0.05	0.05	0.11	0.05	0.06	0.14
Tolueno (ppb)	0.11	0.09	0.49	0.12	0.09	1.1

*El 1,3-butadieno tuvo una tasa de detección del 14 % en MCM durante el período de monitoreo de junio a agosto de 2023. Las no detecciones se sustituyen con MDL/2.

**El análisis de los datos de COV especiados está actualmente en curso para SPR y WLAC para las muestras recolectadas después de agosto de 2023.

Todos los resultados presentados en esta actualización son preliminares y sujetos a cambios.

Tabla B2. Valores orientativos de salud agudos y concentraciones máximas utilizados en la actualización de enero de 2025 del monitoreo intermedio del Campo Petrolífero Inglewood. Se incluyen las concentraciones máximas utilizadas en los sitios de monitoreo del IOF.

Compuesto	Clase Química	WLAC máximo, discretas ($\mu\text{g}/\text{m}^3$) *	SPR máximo, discretas ($\mu\text{g}/\text{m}^3$) *	SPR máximo, en tiempo real ($\mu\text{g}/\text{m}^3$) *	HGV Agudo ($\mu\text{g}/\text{m}^3$)	HGV Duración (hrs)	Tipo de HGV	Fuente de HGV	Efectos del VHG en órganos o sistemas según	Otros sistemas afectados
2-Metilnaftaleno	HAP	0.011	0.01	-	10000	1	REL	OEHHA	Ojos	Nervioso, respiratorio
Acetaldehído	aldehído	2.0	2.0	-	470	1	REL	OEHHA	Respiratorio	Ojos
Acetona	COV	14	22	-	20000	24	MRL	ATSDR	Nervioso	-
Acroleína	COV	0.83	1.2	-	2.5	1	REL	OEHHA	Respiratorio	Ojos
Antimonio	metales	-	-	0.72	1	24	MRL	ATSDR	Respiratorio	-
Arsénico	metales	0.0008	0.0011	0.0059	0.2	1	REL	OEHHA	Desarrollo	Cardiovascular, nervioso
Benceno	COV	0.80	0.87	-	27	1	REL	OEHHA	Desarrollo	Inmune, hematológico
Ftalato de bis(2-etilhexilo)	COVS	0.006	0.002	-	2	24	oral MRL	ATSDR	Endocrino	Desarrollo
Bromometano	COV	0.27	0.26	-	3900	1	REL	OEHHA	CNS	Reproductiva, de desarrollo
Cadmio	metales	-	-	0.19	0.03	24	MRL	ATSDR	Respiratorio	-
Disulfuro de carbono	sulfuro	48	146	-	6200	1	REL	OEHHA	Reproduction	Nervioso
Tetracloruro de carbono	COV	0.60	0.62	-	1900		REL	OEHHA	Reproductiva/ Desarrollo	Alimentario, nervioso
Cloroformo	COV	0.17	0.16	-	150	1	REL	OEHHA	Reproductiva/ Desarrollo	Nervioso, respiratorio
Cromo III**	metales	0.004	0.015	0.032	0.48	1	REL	OEHHA	Respiratorio	-
Cromo VI	metales	0.00004	0.00016	0.00032	1.3	24	ReV	TCEQ	Respiratorio	-

Todos los resultados presentados en esta actualización son preliminares y sujetos a cambios.

Compuesto	Clase Química	WLAC máximo, discretas ($\mu\text{g}/\text{m}^3$) *	SPR máximo, discretas ($\mu\text{g}/\text{m}^3$) *	SPR máximo, en tiempo real ($\mu\text{g}/\text{m}^3$) *	HGV Agudo ($\mu\text{g}/\text{m}^3$)	HGV Duración (hrs)	Tipo de HGV	Fuente de HGV	Efectos del VHG en órganos o sistemas según	Otros sistemas afectados
Cobre	metales	0.014	0.082	0.18	100	1	REL	OEHHA	Respiratorio	-
Formaldehído	aldehído	3.5	2.6	-	55	1	REL	OEHHA	Ojos	-
Freón 113	COV	0.58	0.56	-	7990	1	TLV STEL	ACGIH	Nervioso	Cardiovascular
Freón 12	COV	3.0	3.0	-	20000	24	EEGL	NAS	Cardiovascular	Nervioso, respiratorio
Manganeso	metales	0.017	0.020	-	5	24	ReV	TCEQ	Respiratorio	-
Mercurio	metales	-	-	0.0027	0.6	1	REL	OEHHA	CNS	-
Metiletilcetona	aldehyde	0.58	0.44	-	13000	1	REL	OEHHA	Ojos	Respiratorio
Naftaleno	HAP	0.0134	0.017	-	204	1	HBV	MDH	Respiratorio	Hematológico
Níquel	metales	0.002	0.004	0.02	0.2	1	REL	OEHHA	Immune	-
Percloroetileno	COV	0.21	0.27	-	20000	1	REL	OEHHA	Nervioso	Ojos, respiratorio
Fenol	COVS	0.010	0.008	-	5800	1	REL	OEHHA	Respiratorio	Ojos
Tolueno	COV	2.5	1.6	-	5000	1	REL	OEHHA	Nervioso	Ojos, respiratorio
Vanadio	metales	0.003	0.006	0.006	0.8	24	MRL	ATSDR	Respiratorio	-
Zinc	metales	0.03	0.06	0.55	20	1	MAK	DFG	Respiratorio	Inmune

HGV: Valor Orientativo para la Salud; HAP: hidrocarburo aromático policíclico; COV: compuesto orgánico volátil; COVS: compuesto orgánico semivolátil; REL: Nivel de Exposición de Referencia; OEHHA: Oficina de Evaluación de Riesgos para la Salud Ambiental; MRL: Nivel Mínimo de Riesgo; ATSDR: Agencia para Sustancias Tóxicas y el Registro de Enfermedades; ReV: Valor de Referencia; TCEQ: Comisión de Calidad Ambiental de Texas; TLV: Valor Límite Umbral - Límite de Exposición a Corto Plazo; ACGIH: Conferencia Americana de Higienistas Industriales Gubernamentales; EEGL: Nivel Orientativo de Exposición de Emergencia; NAS: Academia Nacional de Ciencias; HBV: Valor Basado en la Salud; MDH: Departamento de Salud de Minnesota; MAK: Concentración Máxima en el Lugar de Trabajo; DFG: Deutsche Forschungsgemeinschaft

Todos los resultados presentados en esta actualización son preliminares y sujetos a cambios.

* El máximo fue la medición máxima por hora o la medición máxima continua de 24 horas, dependiendo de la duración del HGV y los datos de monitoreo. ** Nuevo REL de OEHHA desarrollado desde que se publicó el borrador del informe de Lost Hills en 2024; el valor anterior era 12 µg/m³.

Todos los resultados presentados en esta actualización son preliminares y sujetos a cambios.

Figura B1. Cronología de la recopilación de datos de monitoreo discreto del aire en el IOF por sitio. El período de monitoreo de febrero de 2024 a junio de 2024 se incluyó en esta actualización (enero de 2025). El período de monitoreo de julio de 2024 a febrero de 2025, indicado por el cambio de color, se incluirá en la próxima actualización de datos.

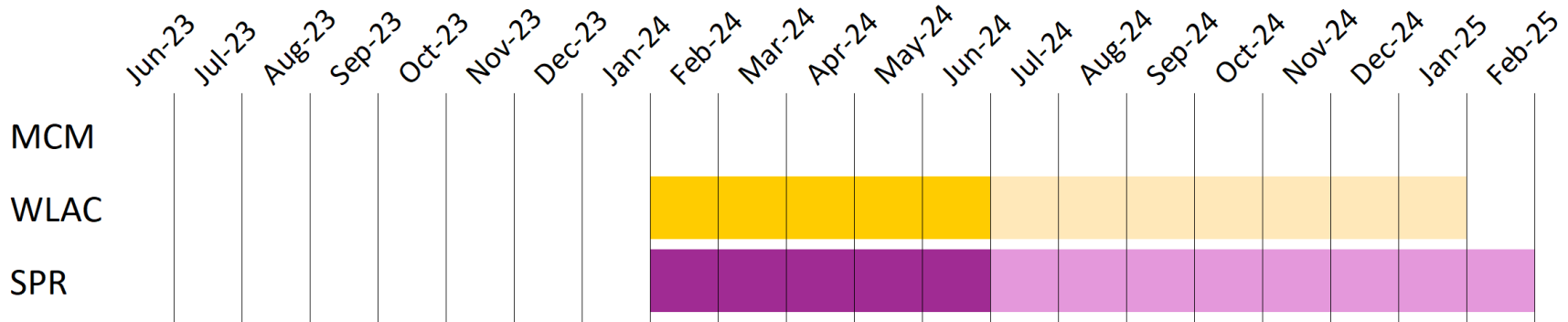
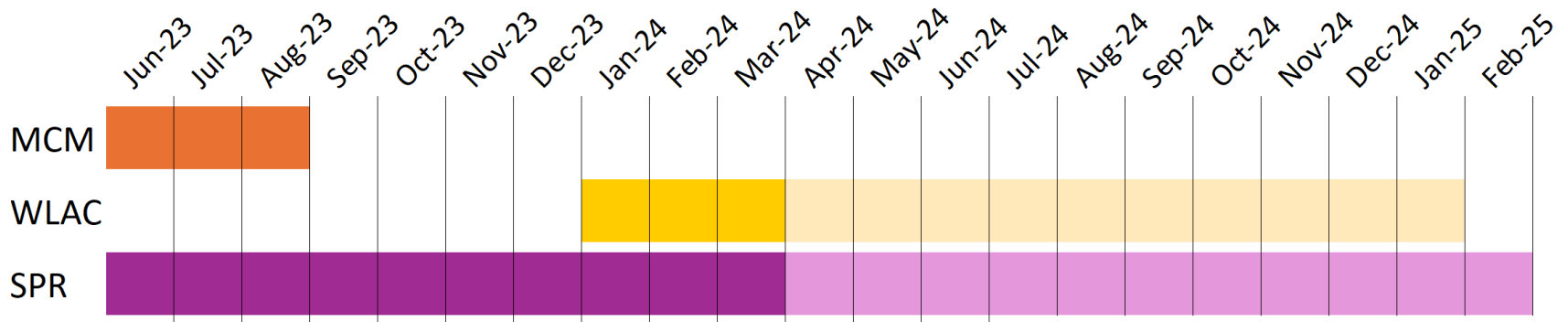
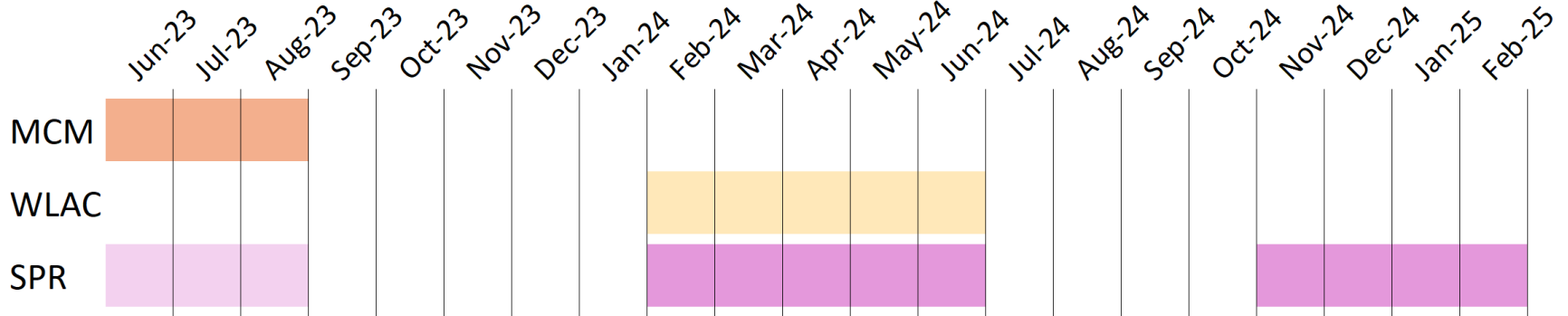


Figura B2. Cronología de la recopilación de datos de monitoreo del aire en tiempo real en el IOF por sitio. El período de monitoreo de junio de 2023 a junio de 2024 se incluyó en esta actualización (enero de 2025). El período de monitoreo de abril de 2024 a febrero de 2025, indicado por el cambio de color, se incluirá en la próxima actualización de datos.



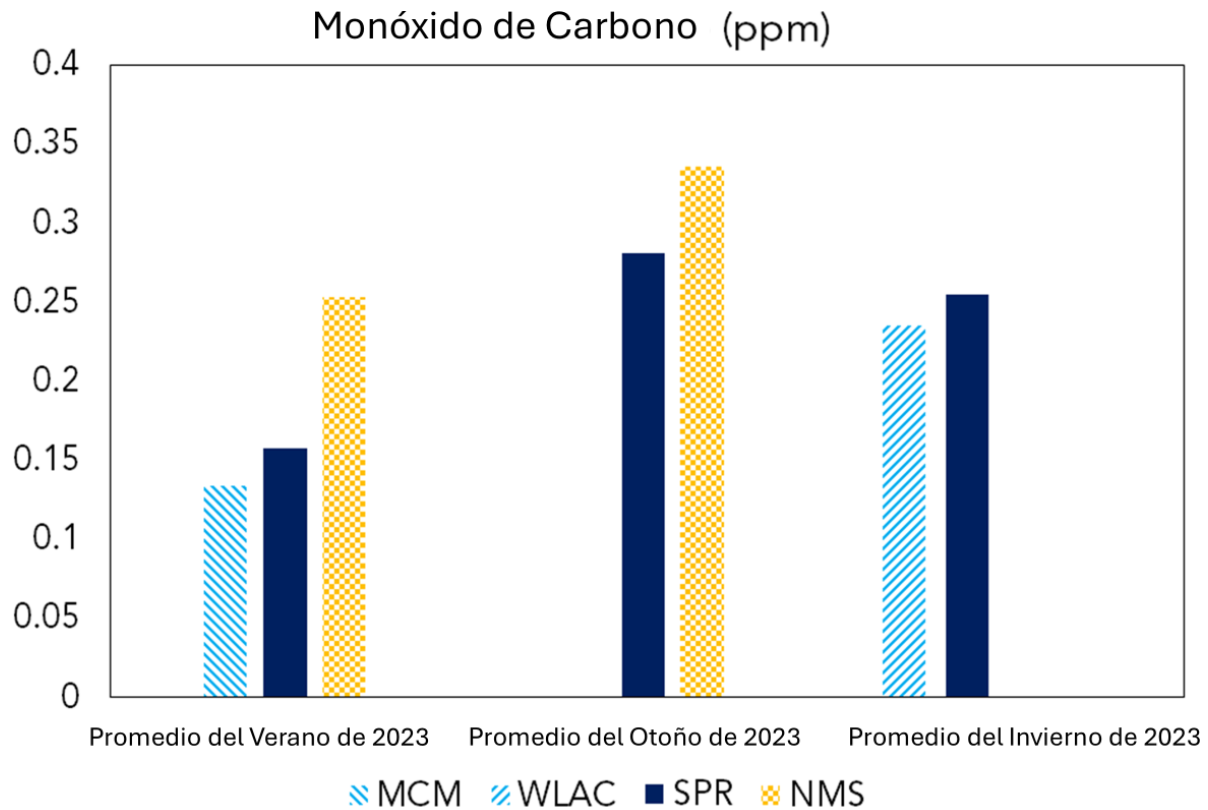
Todos los resultados presentados en esta actualización son preliminares y sujetos a cambios.

Figura B3. Cronología de la recopilación de datos de monitoreo del aire en tiempo real para COV especiados en el IOF por sitio. No se incluyeron datos de COV especiados en la actualización de enero de 2025; todos los datos de COV especiados se incluirán en la próxima actualización de datos.



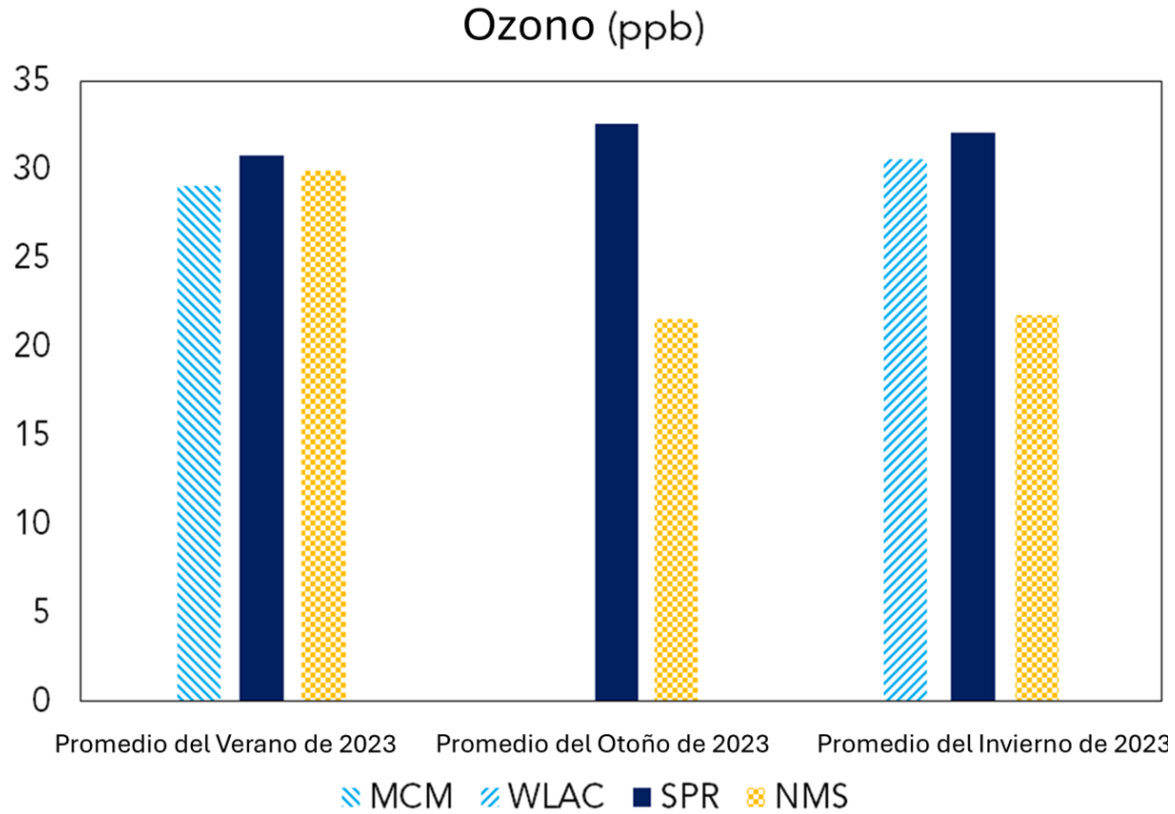
Todos los resultados presentados en esta actualización son preliminares y sujetos a cambios.

Figura B4. Concentraciones promedio estacionales de monóxido de carbono (ppm) en los sitios de monitoreo del IOF y en un sitio de monitoreo del aire no perteneciente al SNAPS, North Main Street (NMS; consulte la Figura 2 de la actualización de enero de 2025 para conocer la ubicación), de junio de 2023 a marzo de 2024. No se disponía de datos de monitoreo para MCM ni WLAC en otoño de 2023 ni para NMS en invierno de 2024.



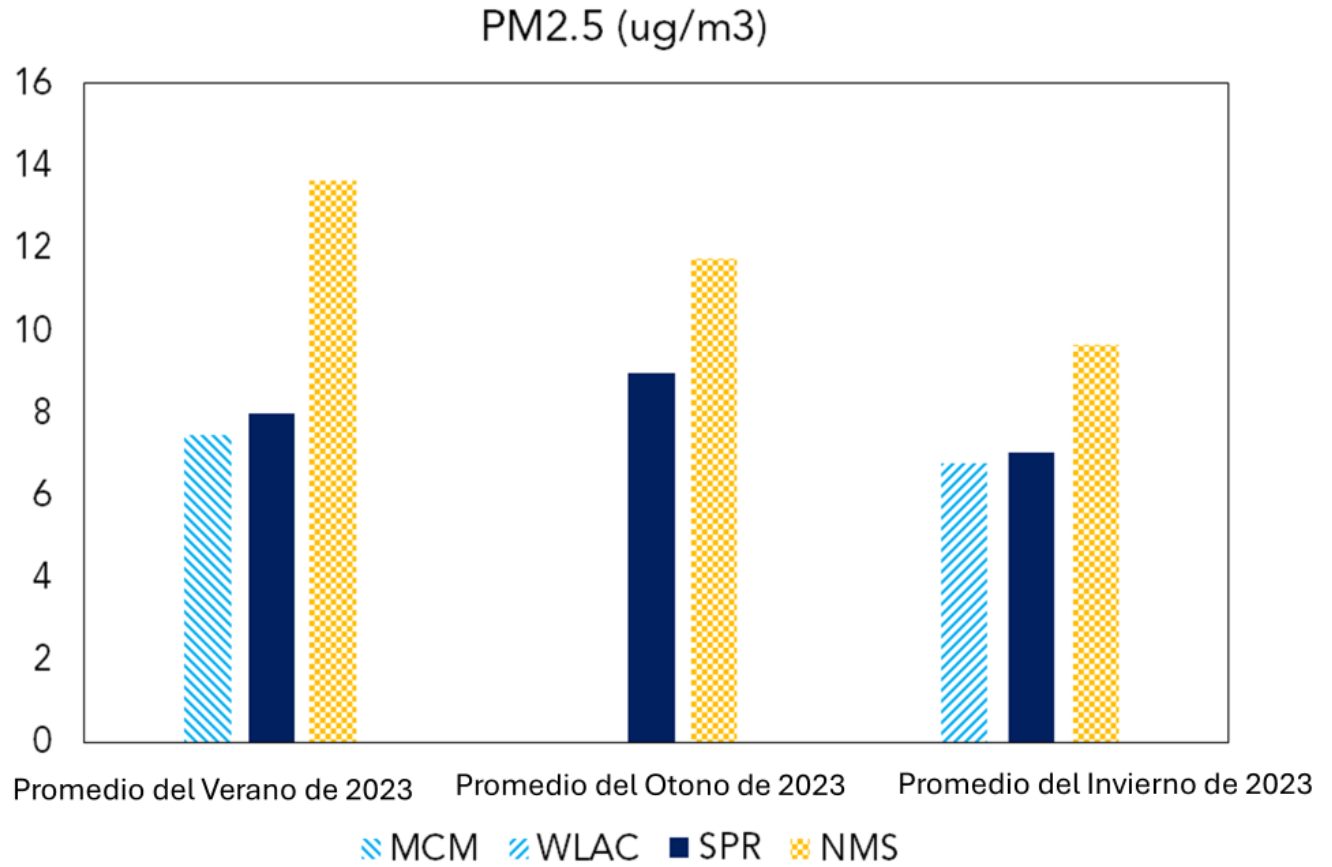
Todos los resultados presentados en esta actualización son preliminares y sujetos a cambios.

Figura B5. Concentraciones promedio estacionales de ozono (ppb) en los sitios de monitoreo del IOF y en un sitio de monitoreo del aire no perteneciente al SNAPS, North Main Street (NMS; consulte la Figura 2 de la actualización de enero de 2025 para conocer la ubicación), de junio de 2023 a marzo de 2024. No se disponía de datos de monitoreo de MCM ni de WLAC en otoño de 2023 ni de NMS en invierno de 2024.



Todos los resultados presentados en esta actualización son preliminares y sujetos a cambios.

Figura B6. Concentraciones promedio estacionales de PM2.5 (ug/m³) en los sitios de monitoreo del IOF y un sitio de monitoreo del aire no perteneciente a SNAPS, North Main Street (NMS; consulte la Figura 2 de la actualización de enero de 2025 para conocer la ubicación), de junio de 2023 a marzo de 2024. Los datos de monitoreo no estaban disponibles en MCM ni WLAC en otoño de 2023 ni en NMS en invierno de 2024.



Todos los resultados presentados en esta actualización son preliminares y sujetos a cambios.

Figura B7. Tendencias diurnas estacionales (hora del día) de monóxido de carbono (ppm) en los sitios de monitoreo del IOF (junio de 2023-marzo de 2024).

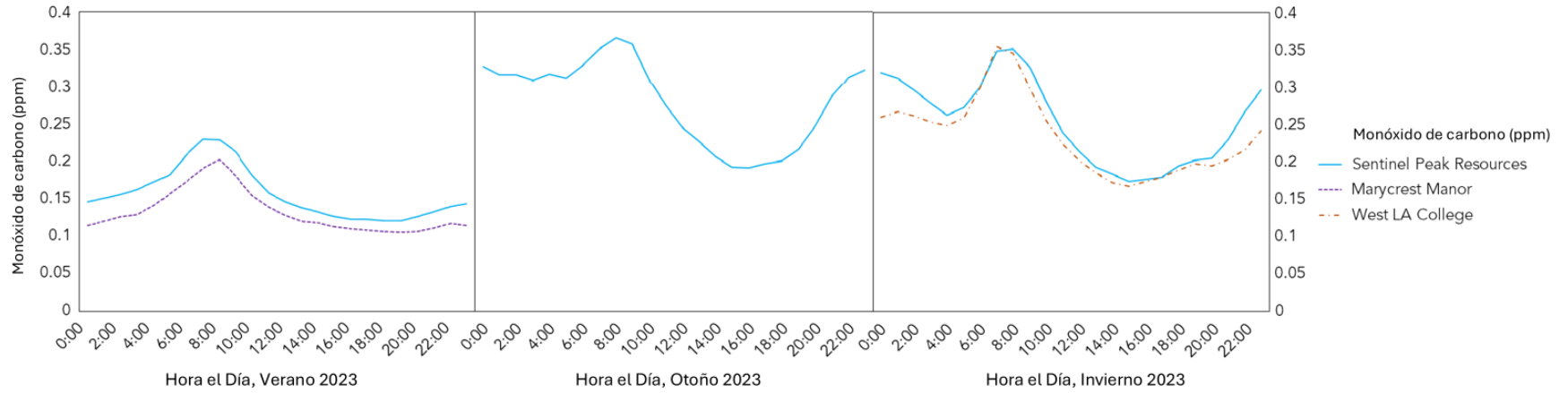
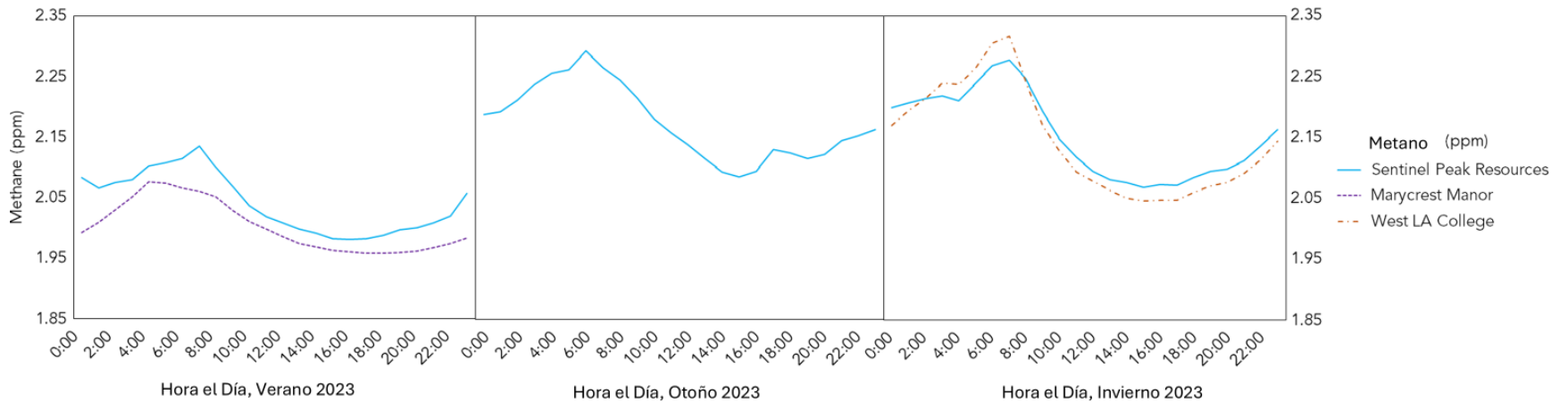


Figura B8. Tendencias diurnas estacionales (hora del día) de metano (ppm) en los sitios de monitoreo del IOF (junio de 2023-marzo de 2024).



Todos los resultados presentados en esta actualización son preliminares y sujetos a cambios.

Figura B9. Tendencias diurnas estacionales (hora del día) del ozono (ppb) en los sitios de monitoreo del IOF (junio de 2023-marzo de 2024).

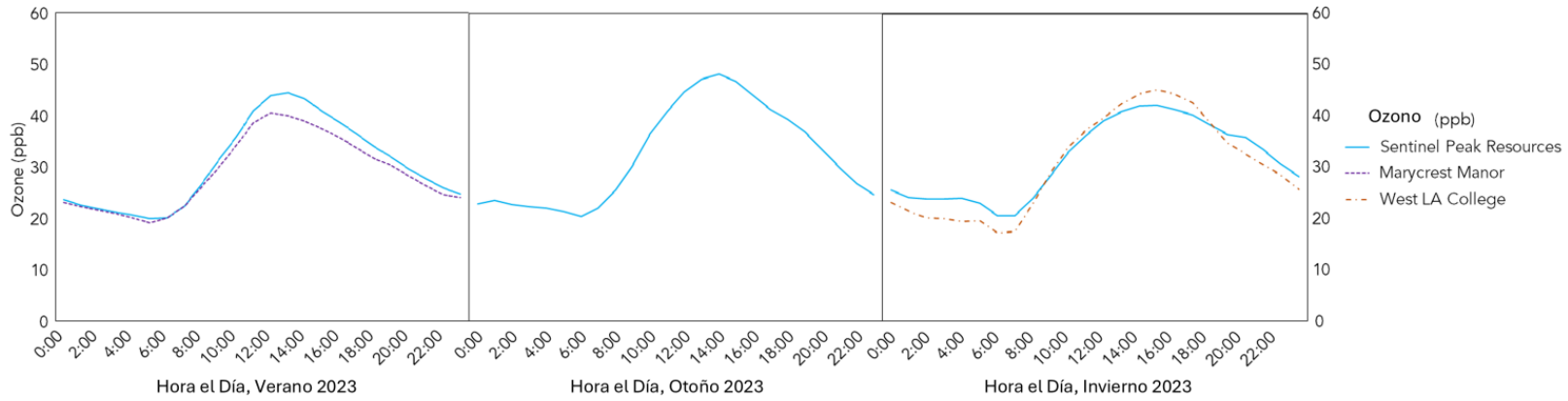
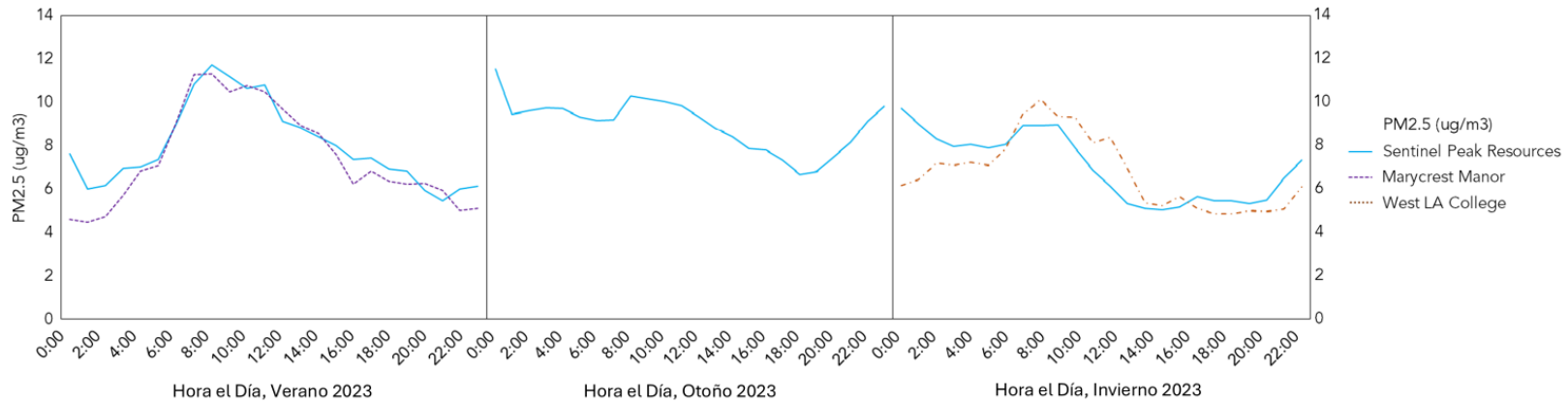


Figura B10. Tendencias diurnas estacionales (hora del día) de PM2.5 ($\mu\text{g}/\text{m}^3$) en los sitios de monitoreo del IOF (junio de 2023-marzo de 2024).



Todos los resultados presentados en esta actualización son preliminares y sujetos a cambios.

Figura B11. Comparación entre los sitios de monitoreo SNAPS IOF y North Main Street (NMS) para varios contaminantes discretos ($\mu\text{g}/\text{m}^3$) de febrero a junio de 2024. No se excedieron los niveles de exposición de referencia aguda (REL) ni los estándares de calidad del aire ambiente en ningún día de monitoreo durante este período. Solo los días con mediciones en los tres sitios se utilizan en el promedio (mostrados entre paréntesis para cada contaminante). Los promedios utilizan la mitad del Límite de Notificación (RL) cuando los datos están por debajo del RL. El RL difiere entre el monitoreo SNAPS y el monitoreo NMS e introduce incertidumbre en la comparación. Debido al número limitado de mediciones, los promedios pueden no representar un promedio estacional y, por lo tanto, no son necesariamente comparables con otros conjuntos de datos (p. ej., MATES V).

